

И.В. Добров, Н.Я. Гаркави, Е.Ф. Фёдоров,

В.В. Карпенко, И.В. Клименко, О.Н. Литвиненко

## К ВОПРОСУ ОБ ИСПОЛЬЗОВАНИИ МОДЕЛЕЙ-АССОЦИАЦИЙ

*Анотація. На моделях-асоціаціях досліджуються ефекти, пов'язані з наявністю в системі сухого тертя. Знайдено траєкторію тіла, що рухається по похилій площині з початковою швидкістю, спрямованою поперек площини. Задача узагальнена на замет задніх коліс автомобіля в кривій при юзі. Показано, що в двохмасовій коливальній системі із сухим тертям можуть бути зафіксовані три «власні» частоти. Пояснено, чому при «скиданні з клинів» рухомого складу деякими датчиками можуть фіксуватися «зайві» резонансні частоти.*

### Постановка проблемы в общем виде

В своё время В.Л. Кирпичёв настоятельно рекомендовал пользоваться моделями, которые не представляют «точную картину физического явления», но «наводятъ на мысли и предположенія о возможныхъ явленіяхъ» [1, с.369]. В данной статье показано, что, несмотря на наличие огромного количества лицензированных специализированных программных комплексов, для объяснения результатов, полученных в натурном эксперименте, иногда и сейчас целесообразно использовать эти предлагавшиеся В.Л. Кирпичёвым модели-ассоциации [2, с.42]).

### Выделение части общей проблемы

Ниже приводятся объяснения эффектов, связанных с наличием трения скольжения. Как известно [3, с.26], сила трения покоя направлена против действующей на тело силы, а сила трения движения направлена против скорости тела:

$$\vec{F}_{tp} = \begin{cases} -k \cdot Q \cdot (\bar{F}/|F|) & \Leftarrow (|v|=0) \wedge (|F| > k \cdot Q), \\ -\bar{F} & \Leftarrow (|v|=0) \wedge (|F| \leq k \cdot Q), \\ -k \cdot Q \cdot (\bar{v}/|v|) & \Leftarrow |v| \neq 0, \end{cases} \quad (1)$$

где  $Q$  — сила нормального давления,  $\bar{v}$  и  $|v|$  — скорость тела (векторная величина) и модуль скорости (скаляр),  $\bar{F}$  и  $|F|$  — движущая сила (векторная величина) и модуль движущей силы (скаляр),  $k$  — коэффициент трения.

### Постановка задачи 1

Пусть тело массой  $m$  находится в покое на наклонной плоскости (рис.1), угол наклона которой  $\alpha$ . Тогда скатывающая сила, направленная вниз по наклонной плоскости,  $F_{ck} = m \cdot g \cdot \sin \alpha$ , наибольшая возможная сила трения  $\max F_{tp} = k \cdot m \cdot g \cdot \cos \alpha$ ,  $k > \operatorname{tg} \alpha$ , фактическая сила трения  $F_{tp} = m \cdot g \cdot \sin \alpha$  направлена против скатывающей силы. При этом вниз по наклонной плоскости скорость  $v_x = 0$  и перемещение  $x = 0$ , а поперёк наклонной плоскости скорость  $v_y = 0$  и перемещение  $y = 0$ .

Сообщим телу щелчком поперечную относительно наклонной плоскости скорость  $v_y = v_0$  (количество движения  $m \cdot v_0$ ). Определим траекторию тела.

### Решение задачи 1

Сила трения теперь и в дальнейшем (пока тело движется) направлена против скорости (рис.2). Модуль скорости  $|v| = \sqrt{v_x^2 + v_y^2}$ , часть силы трения, действующая вниз вдоль наклонной плоскости,  $F_{tpx} = -k \cdot m \cdot g \cdot (v_x/|v|) \cdot \cos \alpha$ , часть силы трения, действующая в поперечном направлении,  $F_{tpy} = -k \cdot m \cdot g \cdot (v_y/|v|) \cdot \cos \alpha$ , ускорение тела вниз вдоль наклонной плоскости  $a_x = (m \cdot g \cdot \sin \alpha + F_{tpx})/m$ , поперечное ускорение тела  $a_y = F_{tpy}/m$ . Уравнения движения тела по наклонной плоскости

$$\begin{aligned}\dot{x} &= v_x, \\ \dot{y} &= v_y, \\ \dot{v}_x &= \begin{cases} g \cdot \sin \alpha - k \cdot g \cdot \left(v_x / \sqrt{v_x^2 + v_y^2}\right) \cdot \cos \alpha & \Leftarrow v_x^2 + v_y^2 \neq 0, \\ 0 & \Leftarrow v_x^2 + v_y^2 = 0, \end{cases} \\ \dot{v}_y &= \begin{cases} -k \cdot g \cdot \left(v_y / \sqrt{v_x^2 + v_y^2}\right) \cdot \cos \alpha & \Leftarrow v_x^2 + v_y^2 \neq 0, \\ 0 & \Leftarrow v_x^2 + v_y^2 = 0 \end{cases}\end{aligned}\quad (2)$$

при начальных условиях  $x(0)=0$ ,  $y(0)=0$ ,  $v_x(0)=0$ ,  $v_y(0)=v_0$ . Траектория движения тела до полной остановки приведена на рис.3. Годограф силы трения в течение всего времени движения тела приведен на рис.4. Зависимость от времени скоростей  $v_x$  и  $v_y$  приведена на рис.5. Что интересно (рис.4): сила трения в процессе движения постоянно меняет направление, при этом от времени  $t<0$  до времени  $t=0$  и от времени  $t< t_{\text{кон}}$  до времени  $t=t_{\text{кон}}$  скачком меняет величину ( $t_{\text{кон}}$  — момент окончания движения).

### Обобщение результатов задачи 1

Приведенное решение объясняет тот факт, что занос задних колёс при повороте автомашины наиболее вероятен, если колёса «идут юзом». Вращающееся без проскальзывания колесо имеет неподвижное относительно «земли» пятно контакта. В этом пятне сила трения препятствует поперечному движению колеса. При юзе в самом начале поперечного движения сопротивления поперечному движению нет, а затем при малой скорости поперечного движения и достаточно большой скорости проскальзывания сила трения мало препятствует заносу. Именно поэтому, чтобы прекратить занос, необходимо отпустить тормоза (а чтобы остаться на дороге, необходимо вывернуть руль в противоположную первоначальному направлению сторону).

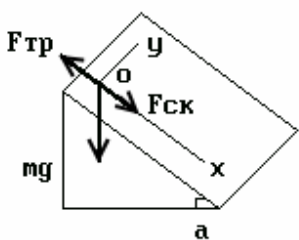


Рисунок 1 - Тело в состоянии покоя на наклонной плоскости.

$$|F_{trp}| = |F_{ck}| = m \cdot g \cdot \sin \alpha, \\ a = \alpha.$$

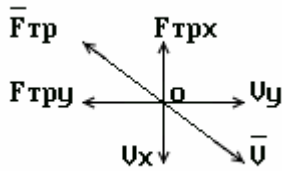


Рисунок 2 - Сила трения движения. Координаты  $x$  и  $y$  связаны с движущимся телом.

$$|v| = \sqrt{v_x^2 + v_y^2},$$

$$|F_{trp}| = k \cdot m \cdot g \cdot \cos \alpha.$$

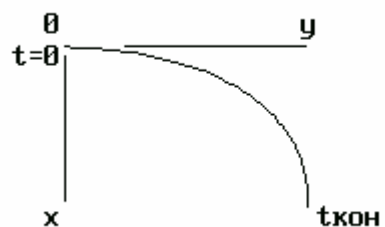


Рисунок 3 - Траектория тела.

Координаты  $x$  и  $y$  связаны с неподвижной точкой на наклонной плоскости.

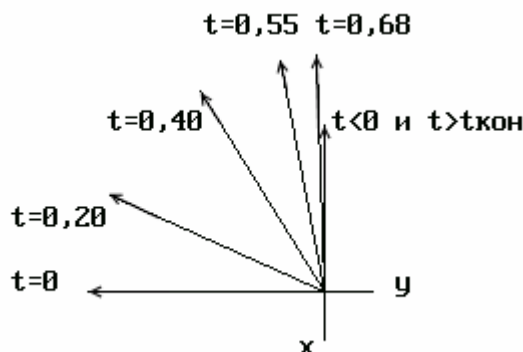


Рисунок 4 - Годограф силы трения.

$t_{\text{кон}} = 0,82$  сек. Координаты  $x$  и  $y$  связаны с движущимся телом. При  $0 \leq t < t_{\text{кон}}$   $|F_{trp}| = k \cdot m \cdot g \cdot \cos \alpha$ , при  $(t < 0) \wedge (t \geq t_{\text{кон}})$

$$|F_{trp}| = m \cdot g \cdot \sin \alpha$$

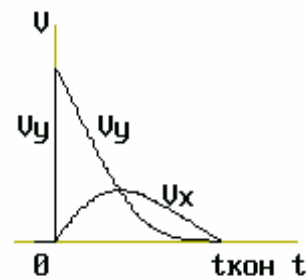


Рисунок 5 - Зависимость от времени скоростей  $v_x$  и  $v_y$ .

## Постановка задачи 2

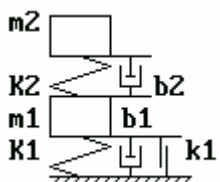
Согласно требованиям нормативной литературы [4, с.3; 5, с.3] в испытаниях тягового подвижного состава, называемых «сбрасыванием с клиньев», определяются собственные частоты и декременты основных форм колебаний (подпрыгивания, галопирования и боковой качки). Испытуемый экипаж при «сбрасывании с клиньев» заезжает на подложенные под его колеса клинья и, сбросив тягу, «соскаивает» с них на рельсы. Преобразование Фурье от переходных функций, зафиксированных датчиками, предлагается считать передаточными функциями испытуемой механической системы [6, с.20; 7, с.43] (что безусловно верно только для линейной системы, в то время, как под-

вижной состав в первой ступени подвешивания обычно содержит фрикционные гасители колебаний).

### Решение задачи 2

Ниже на простейшем примере показано, что описанным выше способом в двухмассовой системе, содержащей фрикционный гаситель, (рис.6) некоторыми датчиками могут быть зафиксированы три «собственные» частоты. Частота  $f_3$  на рис.7 — это собственная частота второй парциальной системы, с которой колеблется масса  $m_2$  после заклинивания фрикционного гасителя в первой парциальной системе (отметим, что некоторые датчики системы фиксируют ещё и низкую частоту  $f_4$  (рис.8), соответствующую времени колебаний фрикционного гасителя до заклинивания и связанную с величиной возбуждения).

$$F_d = \beta_1 \dot{x}_1 + \beta_2 (\dot{x}_1 - \dot{x}_2) + K_1 x_1 + K_2 (x_1 - x_2) - F(t),$$



$$m_1 \ddot{x}_1 = \begin{cases} -F_d - kQ \text{sign}(\dot{x}_1) & \Leftarrow \dot{x} \neq 0, \\ -(F_d - kQ \text{sign}(F_d)) & \Leftarrow (\dot{x} = 0) \wedge (|F_d| > kQ), \\ 0 & \Leftarrow (\dot{x} = 0) \wedge (|F_d| \leq kQ), \end{cases}$$

$$m \ddot{x}_2 = \beta_2 (\dot{x}_2 - \dot{x}_1) + K_2 (x_2 - x_1).$$

Рисунок 6 - Двухмассовая система

$m_1$  и  $m_2$  — массы  $m_1$  и  $m_2$ ;  $b_1$  и  $b_2$  — вязкости  $\beta_1$  и  $\beta_2$ ;  $K_1$  и  $K_2$  — жёсткости  $K_1$  и  $K_2$ ;  $k_1$  — коэффициент трения  $k$ ;  $x_1(t)$  и  $x_2(t)$  — перемещения масс  $m_1$  и  $m_2$  относительно «земли»;  $F(t)$  — силовозбуждение, приложенное к  $m_1$ .

### Обобщение результатов задачи 2

Несмотря на наличие нелинейности, результаты обработки «сбрасывания с клиньев», справедливые только для линейных систем, дают достаточно информации о резонансных частотах и демпфировании в механической конструкции. Отметим, что частоты  $f_1$  и  $f_2$  (рис.7) при случайном возбуждении являются резонансными для «больших» колебаний (с незаклиниенным фрикционным гасителем и соответственно с достаточно большими амплитудами), а частота  $f_3$  является резонансной для «малых» колебаний с заклиниенным фрикционным гасителем.

### Выводы

Результаты математического моделирования на моделях-ассоциациях дают достаточно информации для понимания эффектов, зафиксированных в натурных испытаниях.

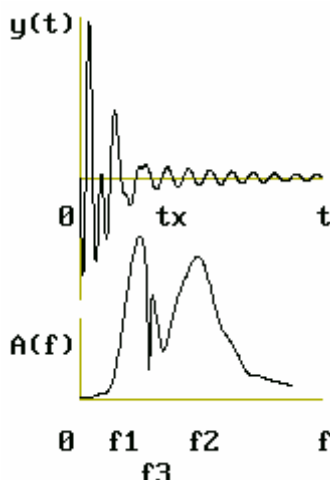


Рисунок 7 - «Переходная» функция  $y(t)=(x_2(t)-x_1(t))$  и АЧХ  $A(f)$  процесса  $y(t)$ .  
 $f$  — частота,  $t_x$  — момент заклинивания фрикционного гасителя

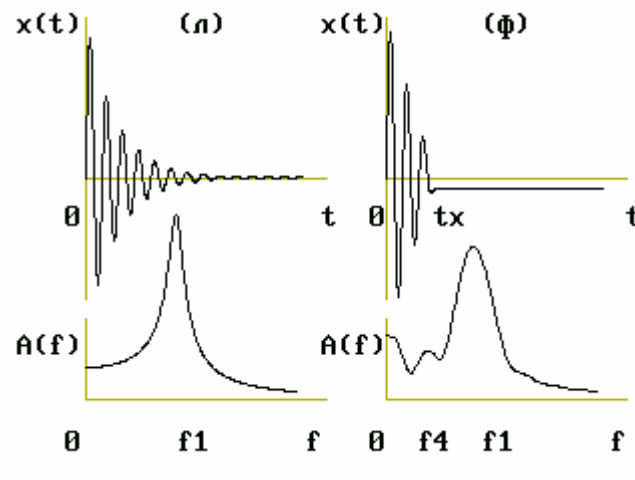


Рисунок 8 - Сравнение «переходных» функций и АЧХ одномассовых систем: линейной системы (л) и системы с фрикционным гасителем (ф).

Величина  $f_4$  связана с величиной начальной скорости массы  $m$ .  $A(0)$  связана с величиной  $x(t_x)$

### ЛИТЕРАТУРА

1. Беседы о механикѣ В.Л. Кирпичёва. [Текст] – С.-Петербургъ: Издание К.Л. Риккера, 1907. – 371 с.
2. Гаркави Н.Я. К вопросу о формализации физического моделирования поведения механических конструкций на подобных моделях. [Текст] /Гаркави Н.Я., Литвиненко О.Н., Добров И.В. // Вібрації в техніці та технологіях. Всеукраїнський науково-технічний журнал. – Вінниця: ВДАУ, 2005. - №4(42). - С.39-44.
3. Добров И.В. Вероятностный подход к математическому моделированию физических процессов. [Текст] /Добров И.В., Гаркави Н.Я., Гаркави О.Н. // Вибрации в технике и технологиях. Всеукраинский научно-технический журнал. – Винница: ВГАУ, 2002. - №5(26). - С.25-27.
4. СТ ССФЖТ ЦТ 15-98. Стандарт системы сертификации на федеральном железнодорожном транспорте. Тяговый подвижной состав. Типовая методика динамико-прочностных испытаний локомотивов.

- [Текст] - М.: МПС России. Введен в действие 15.02.99 г. указанием МПС России №Г-165у. - 26 с.
5. СТ ССФЖТ ЦТ 16-98. Стандарт системы сертификации на федеральном железнодорожном транспорте. Тяговый подвижной состав. Типовая методика динамико-прочностных испытаний электропоездов и дизель-поездов. [Текст] - М.: МПС России. Введен в действие 17.11.99 г. указанием МПС России №А-2641у. - 25 с.
6. Блохин Е.П. Прогнозирование наиболее опасных режимов ходовых испытаний подвижного состава. [Текст] /Блохин Е.П., Коротенко М.Л., Мямлин С.В. и др. // Вестник машиностроения. – М.: «Издательство “Машиностроение”», США: «Аллертон Пресс», 2003. - №7. - С.20-23.
7. Приходько В.И. Использование преобразования Фурье при обработке результатов натурных испытаний подвижного состава. [Текст] /Приходько В.И., Мямлин С.В., Фёдоров Е.Ф., Гаркави Н.Я. // XVI международная конференция. Математика. Экономика. Образование. V международный симпозиум. Ряды Фурье и их приложения. Тезисы докладов. - Ростов-на-Дону: ЮФУ, 2008. - С.43-44.